

УДК 535.338.3; 513.6

doi: 10.17586/2226-1494-2020-20-3-353-363

## ВОССТАНОВЛЕНИЕ ДИСКРЕТНЫХ СПЕКТРОВ, ИЗЛУЧАЕМЫХ ВЕЩЕСТВОМ В ГЛУБОКОМ ВАКУУМЕ, С ПОМОЩЬЮ АЛГОРИТМА ИНТЕГРАЛЬНОЙ АППРОКСИМАЦИИ

А.А. Александрова, В.С. Сизиков

Университет ИТМО, Санкт-Петербург, 197101, Российская Федерация  
Адрес для переписки: sizikov2000@mail.ru

### Информация о статье

Поступила в редакцию 20.04.20, принята к печати 18.05.20  
Язык статьи — русский

**Ссылка для цитирования:** Александрова А.А., Сизиков В.С. Восстановление дискретных спектров, излучаемых веществом в глубоком вакууме, с помощью алгоритма интегральной аппроксимации // Научно-технический вестник информационных технологий, механики и оптики. 2020. Т. 20. № 3. С. 353–363. doi: 10.17586/2226-1494-2020-20-3-353-363

### Аннотация

**Предмет исследования.** Рассматривается актуальная обратная задача спектроскопии – восстановление дискретного (линейчатого) спектра по измеренному непрерывному спектру и аппаратной функции спектрометра при наличии помех. **Метод.** Задача сводится к решению системы линейно-нелинейных уравнений относительно интенсивностей линий, входящих линейно, и частот линий, входящих нелинейно в спектр. Для решения системы линейно-нелинейных уравнений развивается алгоритм интегральной аппроксимации, сочетающий решение линейного интегрального уравнения и системы линейных алгебраических уравнений без решения нелинейных уравнений. **Основной результат.** Предложенное решение данной задачи позволяет определить количество линий в спектре и их параметры, и это подтверждает решение численных примеров. **Практическая значимость.** Предложенный алгоритм дает возможность повысить разрешающую способность спектрометра (разрешить близкие линии, выделить из шума слабые линии и т. д.) путем математико-компьютерной обработки дискретного спектра.

### Ключевые слова

обратная задача спектроскопии, дискретный (линейчатый) спектр, глубокий вакуум, система линейно-нелинейных уравнений, интенсивности (амплитуды) и частоты линий, алгоритм интегральной аппроксимации, разрешающая способность спектрометра

### Благодарность

Работа поддержана Правительством Российской Федерации (грант 08-08).

doi: 10.17586/2226-1494-2020-20-3-353-363

## RECOVERY OF DISCRETE SPECTRA RADIATED BY SUBSTANCE IN DEEP VACUUM USING INTEGRAL APPROXIMATION ALGORITHM

A.A. Aleksandrova, V.S. Sizikov

ITMO University, Saint Petersburg, 197101, Russian Federation  
Corresponding author: sizikov2000@mail.ru

### Article info

Received 20.04.20, accepted 18.05.20  
Article in Russian

**For citation:** Aleksandrova A.A., Sizikov V.S. Recovery of discrete spectra radiated by substance in deep vacuum using integral approximation algorithm. *Scientific and Technical Journal of Information Technologies, Mechanics and Optics*, 2020, vol. 20, no. 3, pp. 353–363 (in Russian). doi: 10.17586/2226-1494-2020-20-3-353-363

### Abstract

**Subject of Research.** The topical spectroscopy inverse problem is considered: the recovery of a discrete (line) spectrum from the measured continuous spectrum and the spectrometer response (instrument, hardware, spread) function in the presence of noise. **Method.** The problem is reduced to solving a system of linear-nonlinear equations with respect to the intensities of lines entering linearly and the frequencies of lines entering nonlinearly in the spectrum. To solve the

system of linear-nonlinear equations, an integral approximation algorithm is developed that combines the solution of a linear integral equation and a system of linear algebraic equations without solving non-linear equations. **Main Results.** The proposed solution makes it possible to determine the number of lines in the spectrum and their parameters and is confirmed by the solution of numerical examples. **Practical Relevance.** The proposed algorithm provides the increase of spectrometer resolution (resolve close lines and isolate weak lines from noise) by applying mathematical-computer processing of the discrete spectrum.

#### Keywords

spectroscopy inverse problem, discrete (line) spectrum, deep vacuum, system of linear nonlinear equations, intensities (amplitudes) and frequencies of lines, integral approximation algorithm, spectrometer resolution

#### Acknowledgements

This work was supported by the Government of the Russian Federation (Grant 08-08).

### Введение

*Спектральный анализ* широко используется для качественного и количественного исследования веществ [1–6]. Под *спектром*  $u(\nu)$  будем подразумевать зависимость интенсивности излучения  $u$  от частоты  $\nu$ . Спектр бывает, как известно [6], *непрерывный* (сплошной), *дискретный* (линейчатый), *полосатый* и т. д. Для разложения излучения в спектр используются различные *спектральные приборы* [2].

Чтобы повысить разрешающую способность спектрометра, а значит, и качество спектрального анализа, можно использовать физико-техничко-коммерческий путь (использовать более совершенный и дорогой спектрометр) или использовать математико-компьютерный путь (выполнить математическую обработку результатов измерений).

*Цель данной работы* — развитие методики обработки дискретных спектров (решения обратной задачи спектроскопии), а именно, восстановления дискретного спектра по измеренному (заглаженному и зашумленному) спектру и известной аппаратной функции спектрометра путем решения системы линейно-нелинейных уравнений (СЛНУ) (в которую часть неизвестных входит линейно, а часть — нелинейно) алгоритмом интегральной аппроксимации с использованием системы MATLAB. Дискретный (линейчатый) спектр — это спектр, состоящий из дискретных (почти монохроматических) линий. Такой спектр имеют, например, рассеянные межзвездные туманности и низкотемпературная, в частности, газоразрядная плазма, и вообще вещество в состоянии глубокого вакуума.

В статье [7] изложен метод Фурье само-деконволюции разрешения спектральных перекрывающихся линий, причем не используется аппаратная функция спектрометра. В данной же работе, как и в [5, 6, 8–11], решается задача устранения сглаживающего влияния аппаратной функции спектрометра на измеренный спектр.

### Постановка задачи

*Измеренный* спектрометром (например, интерферометром Фабри–Перо) *спектр*  $u(\nu)$  (где  $\nu$  — частота) обычно отличается от *истинного спектра*  $z(\nu)$ , во-первых, большей сглаженностью: неразрешены близкие линии — результат воздействия аппаратной функции спектрального прибора [1, 4–6, 8, 9], а, во-вторых, зашумленностью (слабые линии «тонут» в шуме — результат случайных погрешностей измерений [6, 9]).

Дадим следующее определение аппаратной функции (ср. [1, 5, 6, 8, 9]).

*Аппаратной функцией* (АФ) — спектральной чувствительностью, функцией пропускания, частотной характеристикой — спектрометра  $K(\nu, \nu')$  называется реакция спектрометра (в виде измеренной интенсивности) на дискретную линию единичной интенсивности и частоты  $\nu'$  при настройке спектрометра на частоту  $\nu$ .

Фиксируя  $\nu$  и изменяя  $\nu'$ , получим некоторую зависимость  $K(\nu, \nu')$  в виде кривой (рис. 1). Аналогичные кривые получим для других значений  $\nu$ . В результате получим двумерную функцию  $K(\nu, \nu')$ . Чем шире  $K(\nu, \nu')$ , тем более сглаженным будет измеренный спектр  $u(\nu)$  по сравнению с истинным спектром  $z(\nu)$ .

В случае *дискретного спектра* искомым спектром  $z(\nu)$  состоит из отдельных практически монохроматических линий, характеризующихся их частотами и интенсивностями (амплитудами). Задача обработки дискретного спектра описывается следующим соотношением [5, 6, 9–11]:

$$Az = \sum_{j=1}^n K(\nu_j, \nu'_j) z_j + F = \tilde{u}(\nu_i), \quad i = \overline{1, m}, \quad c \leq \nu_i \leq d, \quad (1)$$

где  $z_j$  — интенсивность (амплитуда)  $j$ -ой линии;  $\nu'_j$  — ее частота;  $n$  — число линий;  $\nu_i$  — частота настройки спектрометра;  $m$  — число таких отсчетов;  $[c, d]$  — диапазон частот;  $\tilde{u}(\nu_i) = u(\nu_i) + \delta u(\nu_i)$ ,  $\delta u$  — случайная компонента шума измерений;  $F$  — детерминированная компонента шума (фон);  $A$  — линейно-нелинейный оператор.

В (1) известны (или заданы)  $\tilde{u}(\nu_i)$ ,  $K(\nu, \nu')$ ,  $\nu_i$ ,  $c$ ,  $d$ ,  $m$ , а искомыми являются  $z_j$ ,  $\nu'_j$ ,  $n$ ,  $F$ . Соотношения (1) образуют СЛНУ, поскольку часть неизвестных ( $z_j$  и  $F$ ) входит линейно, а часть ( $\nu'_j$ ) — нелинейно.

Система (1) может рассматриваться и как система нелинейных уравнений (СНУ). В этом случае ее в прин-

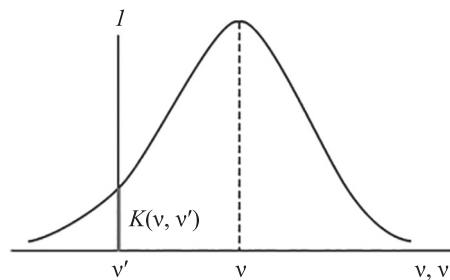


Рис. 1. Зависимость  $K(\nu, \nu')$  при некотором фиксированном значении  $\nu$  ( $I$  — линия единичной интенсивности)

ципе можно решать известными методами решения СЛУ (без ограничений и с ограничениями на решение): методом Ньютона–Канторовича, градиента, хорд, проекций градиента, оврагов и др. [12, 13]. Однако эти методы не учитывают специфику системы (1). В результате потребуется повышенное компьютерное время и память для ее решения, повысится вероятность появления ложных линий — корней нелинейной системы и т. д., и остается открытым вопрос о числе спектральных линий  $n$ .

Для решения системы (1) можно воспользоваться следующими методами, предназначенными для решения СЛНУ с учетом ее специфики:

- методом Прони [14], однако он подходит лишь для СЛНУ с матрицей Вандермонда, когда  $K(v_i, v_j')$  изменяется вдоль строки по геометрической прогрессии, а матрица в (1) таковой, вообще говоря, не является;
- алгоритмом Пиблза–Берковица [15], основанным на представлении АФ рядом Тейлора, но он оказался весьма сложным и неточным при пробных вычислениях;
- алгоритмом Фальковича–Коновалова [16], но это очень громоздкий алгоритм;
- так называемым методом переменных проекций (the variable projection method) Голуба–Муллен–Хегланда [17–19], в котором также решается СЛНУ типа (1), однако для отыскания частот в нем используется нелинейный метод (типа Гаусса–Ньютона).

Рассмотрим данные методы более подробно. В [18] СЛНУ (1) решается следующим алгоритмом. Сначала задаются некоторые значения частот  $v_j'$  и  $v_i$ , а амплитуды  $z_j$  определяются методом псевдоинверсии Мура–Пенроуза:  $z = A^+ \tilde{y}$ . Затем значения частот  $v_j'$  уточняются путем решения задачи методом наименьших квадратов (МНК) с использованием методов Гаусса–Ньютона или Левенберга–Марквардта. Таким образом, данная задача решается как линейно-нелинейная. К методу переменных проекций Голуба–Муллен–Хегланда вернемся в конце статьи.

### Алгоритм интегральной аппроксимации

Для эффективного решения СЛНУ (1), учитывая ее специфику, воспользуемся *алгоритмом интегральной аппроксимации* [5, 6, 10, 11], который учитывает особенности этой системы и который уже продемонстрировал свою эффективность в обработке сигналов [10, 11] и частично в спектроскопии [6, 20], где требует дальнейшего развития. Идея алгоритма состоит в следующем.

Часто для решения интегральных уравнений используется метод квадратур, в котором интеграл аппроксимируется конечной суммой, т. е. непрерывная задача дискретизируется. В алгоритме интегральной аппроксимации (АИА) предлагается использовать обратную операцию, а именно, аппроксимировать СЛНУ интегральным уравнением, т. е. заменить дискретную задачу на непрерывную, а затем решать интегральное уравнение методом квадратур, но на другой, очень частой сетке узлов. Это позволит оценить частоты по

абсциссам пиков в решении, используя лишь линейные операции, с точностью, зависящей от мелкого шага дискретизации.

Данный алгоритм выполняется в четыре этапа.

**Этап 1.** Вместо СЛНУ (1) рассматривается линейное интегральное уравнение (ИУ) Фредгольма I рода [5, 6, 8–11]

$$Az \equiv \int_a^b K(v, v')z(v')dv' = \tilde{u}(v), \quad c \leq v \leq d, \quad (2)$$

относительно искомой функции  $z(v')$ , где  $A$  — линейный интегральный оператор. Полагаем, что вместо точных  $u$  и  $K$  известны  $\tilde{u}$  и  $\tilde{K}$  такие, что  $\|\tilde{u} - u\| \leq \delta$ ,  $\|\tilde{K} - K\| \leq \xi$ , где  $\delta$  и  $\xi$  — верхние оценки погрешностей правой части  $u$  и ядра  $K$ .

Справедливо следующее *утверждение* [11].

Если  $z(v')$  в ИУ (2) есть обобщенная функция, равная сумме  $\delta$ -функций Дирака вида (ср. [21, р. 91])

$z(v') = \sum_{j=1}^n z_j \delta(v' - v_j)$  и  $a \rightarrow -\infty$ ,  $b \rightarrow \infty$ , то ИУ (2) преобразуется в СЛНУ (1) ( $c = F = 0$ ), т. е. между СЛНУ (1) и ИУ (2) имеется взаимный переход.

**Этап 2.** Задача решения уравнения (2) является *некорректной* [5, 6, 22–28] (если решать уравнение (2), например, методом квадратур, то в качестве решения получим так называемую «пилу» [6, 24] — крайне неустойчивое решение). Исходя из этого, для его решения необходимо применение устойчивых методов, например, метода регуляризации 0-го порядка Тихонова [6, 22–28]. Согласно ему, вместо ИУ (2) решается следующее ИУ

$$\alpha z_\alpha(\varphi) + \int_a^b R(\varphi, v')z_\alpha(v')dv' = U(\varphi), \quad a \leq \varphi \leq b, \quad (3)$$

где  $\alpha > 0$  — параметр регуляризации, а новое ядро и новая правая часть равны

$$R(\varphi, v') = R(v', \varphi) = \int_c^d K(v, \varphi)K(v, v')dv, \quad (4)$$

$$U(\varphi) = \int_c^d K(v, \varphi)\tilde{u}(v)dv. \quad (5)$$

Для решения ИУ (2) можно применить метод квадратур [6, 22–24, 27], заменяя интеграл в (2) конечной суммой и получая систему линейных алгебраических уравнений (СЛАУ)  $Az = \tilde{u}$ . При этом квадратурные коэффициенты полагаем равными единице, чтобы СЛАУ  $Az = \tilde{u}$  была структурно близка СЛНУ (1). Для устойчивости решения вместо СЛАУ  $Az = \tilde{u}$  решаем устойчивую СЛАУ, вытекающую из (3)–(5),

$$(\alpha \mathbf{E} + \mathbf{A}^T \mathbf{A})\mathbf{z}_\alpha = \mathbf{A}^T \tilde{\mathbf{u}} \quad (6)$$

с квадратной матрицей  $\mathbf{R} = (\alpha \mathbf{E} + \mathbf{A}^T \mathbf{A})$  размера  $N \times N$ , где  $N$  — число дискретных отсчетов по  $v'$ ;  $\mathbf{E}$  — единичная матрица;  $\mathbf{A}$  — матрица  $m \times N$  на основе  $K$ ;  $\mathbf{A}^T$  — транспонированная матрица;  $\tilde{\mathbf{u}}$  — заданный вектор длиной  $m$  (измеренный спектр). Искомыми значениями в СЛАУ (6) являются интенсивности  $z_{\alpha j} \equiv z_\alpha(v_j')$ ,  $j = \overline{1, N}$ , на частой сетке узлов с пониженным шагом дискретизации  $h = \Delta v' = (b - a)/(N - 1)$ .

Важным является вопрос о величине параметра регуляризации  $\alpha$ . Традиционный способ выбора  $\alpha$  — принцип невязки Морозова [29]. Согласно нему, параметр  $\alpha$  выбирается из равенства

$$\|Az_\alpha - \tilde{u}\| = \delta, \quad (7)$$

где  $\|Az_\alpha - \tilde{u}\|$  — невязка (discrepancy),  $\delta = \|\tilde{u} - u\|$ ,  $\tilde{u}$  — измеренный с шумом спектр, а  $u$  — незашумленный измеренный спектр, обычно неизвестный. В качестве  $u$  предлагается использовать сглаживающий сплайн, проходящий через зашумленные отсчеты  $\tilde{u}$  [26, 30]. Обозначим  $\alpha_d$  параметр согласно принципу невязки.

Однако  $\alpha_d$  применительно к АИА оказывается завышенным и дает заглаженное решение  $z_\alpha$ , поэтому следует выбрать  $\alpha$ , значительно меньшее  $\alpha_d$  (см. далее пример).

При этом шаг дискретизации  $h$  следует полагать как можно меньшим, чтобы число дискретных отсчетов  $N$  по  $v'$  было несколько сот, а именно,  $N \gg n$ , где  $n$  — предполагаемое число линий (см. (1)). При этом число дискретных отсчетов  $m$  по  $v$  такое же, как в (1), или увеличено за счет использования сплайна. Малость шага дискретизации  $h$  по  $v'$  — главное условие в алгоритме.

Заметим, что  $N \Leftrightarrow m$  и при любом соотношении  $N$  и  $m$  метод регуляризации Тихонова дает решение (нормальное псевдорешение) ИУ (3) и СЛАУ (6). Если же  $N > m$ , как в АИА, то при ограниченном числе измерений  $m$  (например,  $m \approx 100$ ) можно получить решение  $z_\alpha(v')$  на большем числе узлов  $N$  (например,  $N \approx 400$ ), а значит, с пониженным шагом  $h = \Delta v'$ . При этом СЛАУ  $Az = \tilde{u}$  является недостаточной (число уравнений  $m$  меньше числа неизвестных  $N$ ), но СЛАУ (6) является достаточной (число уравнений и число неизвестных равно  $N$ ).

В результате будет получено решение  $z_\alpha(v')$ , в котором могут разрешиться близкие линии в виде пиков в решении. При этом могут возникнуть ложные пики-линии и их нужно отфильтровать (см. далее рис. 4 и 5).

В работах [5, 6, 9–11] получена следующая оценка по норме погрешности регуляризованного решения  $z_\alpha(v')$  уравнения (3):

$$\varepsilon(\alpha) \equiv \|\Delta z_\alpha\| \leq \left( \frac{\|A\|}{2\sqrt{\alpha}} \eta + \frac{p\alpha}{p\alpha + 1} \cdot \|z_\alpha\| \right), \quad (8)$$

где  $\eta = \delta_{\text{rel}} + \xi_{\text{rel}}$ , причем  $\delta_{\text{rel}} = \delta/\|u\|$  и  $\xi_{\text{rel}} = \xi/\|A\|$  — относительные погрешности исходных данных, а параметр  $p$  можно оценить путем обработки модельных спектров [9].

Оценим погрешность  $\sigma_{v_j'}$  частоты  $v_j'$   $j$ -ой линии-пика. Для этого используем разложение в ряд Тейлора решения  $z_\alpha(v')$  в окрестности пика  $\tilde{v}_j'$ :

$$z_\alpha(v') \approx z_\alpha(\tilde{v}_j') + \frac{1}{2} z_\alpha''(\tilde{v}_j') \Delta_j^2, \quad (9)$$

где  $z_\alpha''(\tilde{v}_j') = \partial^2 z_\alpha(v') / \partial v'^2|_{v'=\tilde{v}_j'}$ ,  $\Delta_j = v' - \tilde{v}_j' = \sigma_{v_j'}$ . Заметим, что  $z_\alpha'(\tilde{v}_j') = 0$  и  $z_\alpha'''(\tilde{v}_j') \approx 0$ , поэтому ряд (9) должен давать хорошее приближение для  $z_\alpha(v')$  в окрестности  $j$ -ой линии. Здесь  $\tilde{v}_j'$  — приближенное значение частоты  $j$ -ой линии, соответствующее некоторому пику в решении  $z_\alpha(v')$ , а  $v'$  — некоторое значение частоты в

окрестности  $\tilde{v}_j'$ , в частности точное значение частоты  $v_j'$ . Из (9) получим:

$$(v' - \tilde{v}_j')^2 \approx \frac{2[z_\alpha(v') - z_\alpha(\tilde{v}_j')]}{z_\alpha''(\tilde{v}_j')} \quad (10)$$

или, используя модули,

$$|v' - \tilde{v}_j'| \approx \sqrt{\frac{2|z_\alpha(v') - z_\alpha(\tilde{v}_j')|}{z_\alpha''(\tilde{v}_j')}}. \quad (11)$$

Однако оценка (10) или (11) погрешности частоты  $j$ -ой линии не может быть использована на практике в случае реального (не модельного) спектра, так как содержит неизвестную частоту  $v'$ , в частности точное значение частоты  $v_j'$ .

Более конструктивной является оценка погрешности частоты с использованием нормы. Обозначая  $\|z_\alpha(v') - z_\alpha(\tilde{v}_j')\| = \|\Delta z_\alpha\| = \varepsilon(\alpha)$  (оценку по норме регуляризованного решения), получим следующую оценку погрешности частоты  $v_j'$   $j$ -ой линии:

$$\sigma_{v_j'} \approx \sqrt{\frac{2\varepsilon(\alpha)}{|z_\alpha''(\tilde{v}_j')|}}, \quad (12)$$

где  $\varepsilon(\alpha)$  выражается формулой (8).

Погрешность  $\sigma_{v_j'}$  увеличивается также за счет конечности шага дискретизации  $h = \Delta v'$ , с которым решаем ИУ (2) численно, и это добавляет погрешность, приблизительно равную  $h/2$ . Суммируя погрешности квадратично, получим более полную, чем (12), оценку:

$$\sigma_{v_j'} \approx \sqrt{\frac{2\varepsilon(\alpha)}{|z_\alpha''(\tilde{v}_j')|} + \left(\frac{h}{2}\right)^2}. \quad (13)$$

В (13)  $z_\alpha''(\tilde{v}_j')$  — оценка второй производной регуляризованного решения  $z_\alpha(v')$  в  $j$ -ом пике. Если  $h = \text{const}$ , то

$$z_\alpha''(\tilde{v}_j') \approx \frac{z_\alpha(\tilde{v}_j' - h) - 2z_\alpha(\tilde{v}_j') + z_\alpha(\tilde{v}_j' + h)}{h^2}. \quad (14)$$

Оценка (12)–(14) показывает, что погрешность определения частоты  $\sigma_{v_j'}$  уменьшается с уменьшением шага дискретизации  $h = \Delta v'$  и с ростом второй производной  $z_\alpha''(\tilde{v}_j')$ , которая растет с уменьшением параметра регуляризации  $\alpha$ . Это означает, что решать ИУ (3) нужно с малым шагом  $h$  и с пониженным параметром регуляризации  $\alpha$ .

Если обрабатывается модельный спектр с известными (заданными) точными интенсивностями  $z_j$  и частотами  $v_j'$  линий ( $j = \overline{1, n}$ ), то можно использовать следующие соотношения для оценки погрешностей параметров линий. Среднеквадратическая погрешность (СКО, RMSE) амплитуд линий равна (ср. [28]):  $\varepsilon = \|\tilde{z} - z\|_2$ , аналогичная погрешность частот линий:  $\xi = \|\tilde{v}' - v'\|_2$ .

Однако эти формулы неудобны, так как значения  $\varepsilon$  и  $\xi$  зависят от системы единиц. Более удобны формулы, дающие относительные СКО (relative RMSE):  $\varepsilon_{\text{rel}} = \|\tilde{z} - z\|_2 / \|z\|_2$ ,  $\xi_{\text{rel}} = \|\tilde{v}' - v'\|_2 / \|v'\|_2$ .

В приведенных формулах  $\tilde{z}$  и  $\tilde{v}'$  — приближенные интенсивности (амплитуды) и частоты, а  $z_j$  и  $v_j'$  — их

точные значения. Суммарное СКО по интенсивностям и частотам можно вычислить как относительное суммарное СКО:

$$\zeta_{\text{rel}} = \sqrt{\varepsilon_{\text{rel}}^2 + \xi_{\text{rel}}^2}. \quad (15)$$

В нижеследующем примере использованы относительные СКО  $\varepsilon_{\text{rel}}$ ,  $\xi_{\text{rel}}$  и  $\zeta_{\text{rel}}$ .

**Этап 3.** В полученном решении  $z_\alpha(v')$  выделяется (на основе дополнительной информации) ограниченное количество  $L$  наиболее мощных пиков (максимумов), где  $L$  задается (с запасом) так, чтобы  $L \geq n$ , но  $L \ll N$ , где  $n$  — предполагаемое число линий<sup>1</sup>. Фиксируются частоты наиболее мощных максимумов  $\tilde{\nu}'_j, j = \overline{1, L}$ .

**Этап 4.** Решается уточняющая СЛАУ

$$\sum_{j=1}^L K(\nu_i, \tilde{\nu}'_j) \tilde{z}_j + \tilde{F} = \tilde{y}(\nu_i), \quad i = \overline{1, m}, \quad c \leq \nu_i \leq d. \quad (16)$$

Это система большого числа ( $m$ ) уравнений и малого числа ( $L$ ) неизвестных  $\tilde{z}_j$ , т. е. переопределенная СЛАУ. Обычно  $m \sim 10^2$ , а  $L \sim 10^1$ . Таковую СЛАУ (16) следует решать с помощью МНК Гаусса без регуляризации относительно  $L$  интенсивностей линий  $\tilde{z}_j$ , а также фона  $\tilde{F}$  (при уже найденных  $\tilde{\nu}'_j$  на этапах 2 и 3). В МНК Гаусса получается небольшая СЛАУ с квадратной матрицей порядка  $L + 1$ .

Оставляются лишь те  $\tilde{z}_j$  и  $\tilde{F}$ , для которых справедливо:

$$\tilde{z}_j \geq Z, \quad j = \overline{1, k}, \quad \tilde{F} > 0, \quad (17)$$

где  $Z > 0$  — некоторый априори заданный барьер, а  $k \leq L$  — количество  $\tilde{z}_j$ , преодолевших барьер  $Z$ . При этом барьер  $Z$  можно определить, используя соотношение [10, 11]:

$$Z = \delta \sqrt{-2 \ln P_{\text{fa}}}, \quad (18)$$

где  $P_{\text{fa}} \in [0, 1]$  — задаваемая условная вероятность ложной тревоги (fa). Впрочем, обычно ложные максимумы принимают отрицательные значения или значения, близкие к нулю, поэтому нет необходимости использовать соотношения (17), (18).

Как итог изложения алгоритма интегральной аппроксимации, приведем его в виде source code (сравните с pseudo-code).

**Этап 1.** Вместо СЛНУ (1) рассматривается ИУ (2).

**Input:**  $\tilde{y}(\nu)$ ,  $n$ ,  $m$ ,  $c$ ,  $d$ ,  $K(\nu, \nu')$ ,  $a$ ,  $b$ ,  $h$ ,  $\delta$ ,  $\xi$ ,  $N$ .

**Этап 2.** ИУ (2) решается методом регуляризации Тихонова согласно (3)–(5) с использованием метода квадратур с пониженным шагом дискретизации  $h$ . Получается СЛАУ с  $m$  уравнениями относительно  $N \gg n$  неизвестных  $z_{\omega j} \equiv z_\alpha(\tilde{\nu}'_j)$ . Параметр регуляризации  $\alpha$  выбирается существенно меньше  $\alpha_d$  (по принципу невязки Морозова согласно (7)). Оцениваются погрешности регуляризованного решения  $z_\alpha(\nu')$  согласно (8) и определения частот согласно (13) или (15).

**Output:**  $z_\alpha(\nu')$ .

**Этап 3.** В решении  $z_\alpha(\nu')$  выделяются  $L$  наибольших пиков (максимумов), причем  $L \geq n$ , но  $L \ll N$ .

**Output:** частоты  $\tilde{\nu}'_j, j = \overline{1, L}$ .

**Этап 4.** Решается уточняющая переопределенная СЛАУ (16) ( $L + 1$  неизвестных и  $m > L$  уравнений). Оставляются  $\tilde{z}_j$  и  $\tilde{F}$  согласно (17), (18).

**Output:** интенсивности линий  $\tilde{z}_j, j = \overline{1, k}$ , фон  $\tilde{F}$  и количество линий  $k$ .

Достоинством алгоритма является то, что наиболее сложная часть задачи — определение значений нелинейно входящих параметров (частот спектральных линий  $\tilde{\nu}'_j$ ) — решается линейно, а именно, путем решения линейного ИУ (2).

### Численные эксперименты

В рамках системы MATLAB разработано программное обеспечение для восстановления дискретных спектров, реализующее алгоритм интегральной аппроксимации. С помощью этого программного обеспечения выполнена обработка следующих спектров.

**Примеры с модельными спектрами.** В этих примерах, как и в работе [9], полагается, что АФ К спектрометра имеет, вообще говоря, переменную ширину, зависящую от  $\nu$ , т. е. является неразностной:  $K = K(\nu, \nu')$ . Это типично для широкополосной спектроскопии [5, 6]. Для характеристики АФ используется  $\tau(\nu)$  — полуширина АФ по уровню 0,5, которая, как известно [9], пропорциональна длине волны  $\lambda$ , а значит, обратно пропорциональна частоте:  $\tau(\nu) = q/\nu$ . Здесь  $q$  — некоторый коэффициент, зависящий от спектрометра.

Были рассмотрены следующие АФ (ср. [1, 9, 19, 31]), обусловленные дифракцией, абберациями, типом щели и характеризующиеся их полуширинами  $\tau(\nu)$ .

1. Щелеобразная, или прямоугольная АФ (определяется только широкой щелью).

2. Треугольная АФ (также при учете только щелевых искажений, являющаяся сверткой двух прямоугольных АФ).

3. Дифракционная АФ Рэлея (когда щель прибора бесконечно узкая и АФ определяется дифракцией на прямоугольной апертурной диафрагме).

4. Гауссова АФ (в случае монохроматоров, когда дифракционные и абберационные искажения не очень велики) [1, 5, 21, 31, 32].

5. Дисперсионная, или лоренцевая АФ (для спектрографов малой, средней, а иногда и большой дисперсии).

6. Экспоненциальная АФ (фотослой).

7. АФ Фойхта (свертка гауссовой и дисперсионной АФ).

Использование  $\tau(\nu)$  дает возможность сравнивать различные АФ с одинаковыми  $\tau(\nu)$ . Такое сравнение в работе [9] применительно к непрерывным спектрам показало, что наиболее точные результаты восстановления спектров получаются для дисперсионной и экспоненциальной АФ, а наименее точные — для щелевой и треугольной АФ. Обработка ряда дискретных спектров с различными АФ алгоритмом интегральной аппроксимации подтверждает этот результат.

Продемонстрируем методику на следующем *модельном примере* [6, 10, 11, 20]<sup>2</sup>.

<sup>1</sup> Обычно опытные спектроскописты дают оценки  $n$  и  $L$  для реального спектра.

<sup>2</sup> Этот пример используется авторами в нескольких публикациях [5, 20, 32] как *фантом* (ср. [5, С. 291–294]) для моделирования разных вариантов задачи спектроскопии.

В примере (рис. 2) истинный спектр задавался, как и в работе [20], в виде семи дискретных спектральных линий с амплитудами (в условных единицах):  $z_1 = 4,4$ ;  $z_2 = 4,6$ ;  $z_3 = 1,1$ ;  $z_4 = 3,2$ ;  $z_5 = 3,2$ ;  $z_6 = 2,8$ ;  $z_7 = 3,6$  и частотами (также в условных единицах):  $v_1' = 2,28$ ;  $v_2' = 2,36$ ;  $v_3' = 2,95$ ;  $v_4' = 3,02$ ;  $v_5' = 3,56$ ;  $v_6' = 3,64$ ;  $v_7' = 3,69$ .

АФ спектрометра задавалась в виде следующей частотно-неинвариантной функции — гауссианы, ширина (дисперсия) которой уменьшается с увеличением частоты настройки спектрометра  $v$  (см. [9, 32]):

$$K(v, v') = \frac{g}{\sqrt{2\pi}\sigma(v)} \exp\left(-\frac{(v-v')^2}{2\sigma^2(v)}\right), \quad (19)$$

где  $\sigma(v) = \sigma_0\sqrt{1 - 0,16v}$ ,  $\sigma_0 = 0,05$ ,  $g = 0,075$  — нормирующий множитель (все в у.е.). Для каждого реального спектрометра  $\sigma(v)$ ,  $\sigma_0$  и  $g$  имеют свои значения. Значение детерминированной компоненты шума (фона) положено равным  $F = 0,2$ , а случайная компонента шума измерений имела среднеквадратическое отклонение (СКО), равное 0,05 (приблизительно 2 %-й шум).

Были положены также: пределы  $a = c = 2$ ,  $b = d = 2$  у.е. (см. (2)–(5));  $m = 101$  — число «экспериментальных» отсчетов по  $v$  (см. (1));  $N = 401$  — число отсчетов по  $v'$  при решении СЛАУ (6); мелкий шаг дискретизации  $h = \Delta v' = (b - a)/(N - 1)$ .

На рис. 2 приведены: истинный дискретный (линейчатый) спектр  $z(v)$ , состоящий из семи линий, измеренный (экспериментальный) спектр без шума  $u(v)$  и с шумом  $\tilde{u}(v)$ , аппроксимация  $\hat{u}(v)$  кубическим сплайном (все длиной  $m = 101$ ), а также АФ спектрометра  $K(v, v')$  согласно формуле (19) на низкой и высокой частотах  $v$ . Видим, что истинный спектр  $z(v)$  содержит близкие линии (две слева, две посередине

и три справа), которые в измеренном спектре  $u(v)$  не разрешаются.

Применим алгоритм интегральной аппроксимации для восстановления истинного спектра. Сначала решаем ИУ (2) методом регуляризации Тихонова согласно (3)–(5) путем решения СЛАУ (6). Если параметр регуляризации  $\alpha$  выбирать с помощью принципа невязки согласно (7), то получим  $\alpha = \alpha_d = 10^{-1,1} = 0,079$ .

Используя спектр  $\hat{u}(v)$  длиной  $m = 101$ , получим несколько регуляризованных решений  $z_\alpha(v)$  длиной  $N = 401$  при  $\alpha = \alpha_d$ , а также при  $\alpha = 10^{-3}$  и  $\alpha = 10^{-8}$  (см. рис. 3).

Видим, что при  $\alpha = \alpha_d$  и  $\alpha = 10^{-3}$  решение получается слишком сглаженным, а при  $\alpha = 10^{-8}$ , наоборот, слишком неустойчивым (в виде так называемой «пилы» большой амплитуды).

На рис. 4 представлено решение  $z_\alpha(v)$  при  $\alpha = 10^{-6}$  — умеренном значении  $\alpha$ . Видим, что разрешение получилось недостаточным (не разрешились две крайние справа линии).

Чтобы повысить разрешение, вместо  $\hat{u}(v)$  длиной  $m = 101$  использовался кубический сглаживающий сплайн  $u_s(v)$  длиной  $m = 401$ , аппроксимирующий измеренный спектр  $\hat{u}(v)$  (см. рис. 5).

Используя сплайн  $u_s(v)$ , получено регуляризованное решение  $z_\alpha(v)$  при  $\alpha = 10^{-6}$  (рис. 5). Видно, что несмотря на то, что на рис. 5 длина решения такая же, как на рис. 4 ( $N = 401$ ), разрешение значительно улучшилось. Это связано с тем, что увеличилось число дискретных отсчетов измеренного спектра  $m$ , поэтому уменьшился шаг дискретизации (в четыре раза) за счет использования сплайна и, значит, увеличилась частота Найквиста–Котельникова [5, С. 64] и повысилось разрешение.

Рис. 5 демонстрирует разрешение всех семи близких линий. Однако при этом возникает много ложных максимумов–линий.

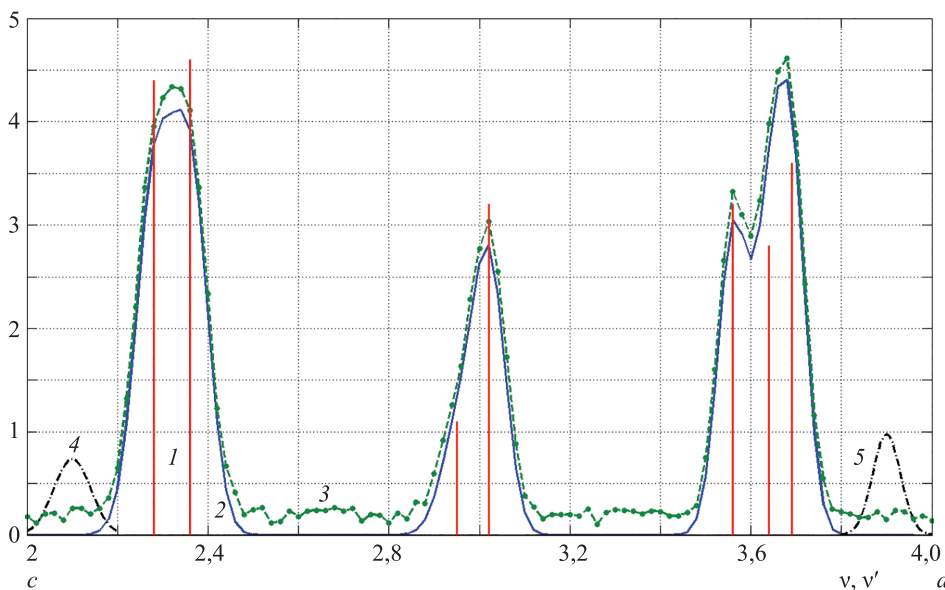


Рис. 2. Численный пример. Прямая задача. По оси ординат —  $z, u, \tilde{u}$  и  $K$  (в у.е.).

1 — истинный дискретный спектр  $z(v)$ ; 2 — измеренный спектр  $u(v)$  длиной  $m = 101$ ; 3 — измеренный с шумом спектр  $\tilde{u}(v)$ ; 4 —  $K(2,1, v')$  — аппаратная функция на низкой частоте  $v = 2,1$ ; 5 —  $K(3,9, v')$  — аппаратная функция на высокой частоте  $v = 3,9$

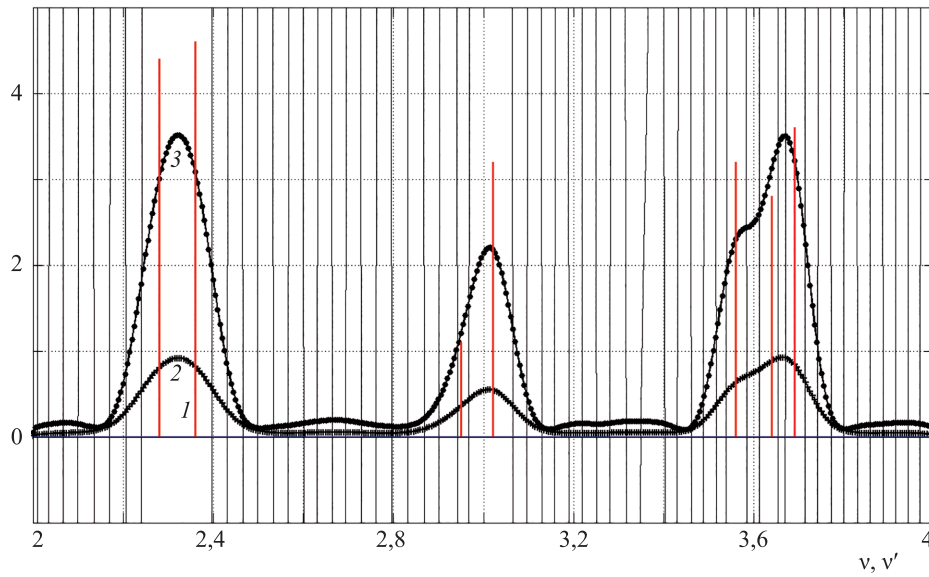


Рис. 3. Точный и восстановленные спектры: 1 — точный спектр  $z(v')$ ; 2 — восстановленный спектр  $z_\alpha(v)$  при  $\alpha = \alpha_d$ ; 3 — восстановленный спектр  $0,1z_\alpha(v)$  при  $\alpha = 10^{-3}$ ; 4 — восстановленный спектр  $z_\alpha(v)$  при  $\alpha = 10^{-8}$

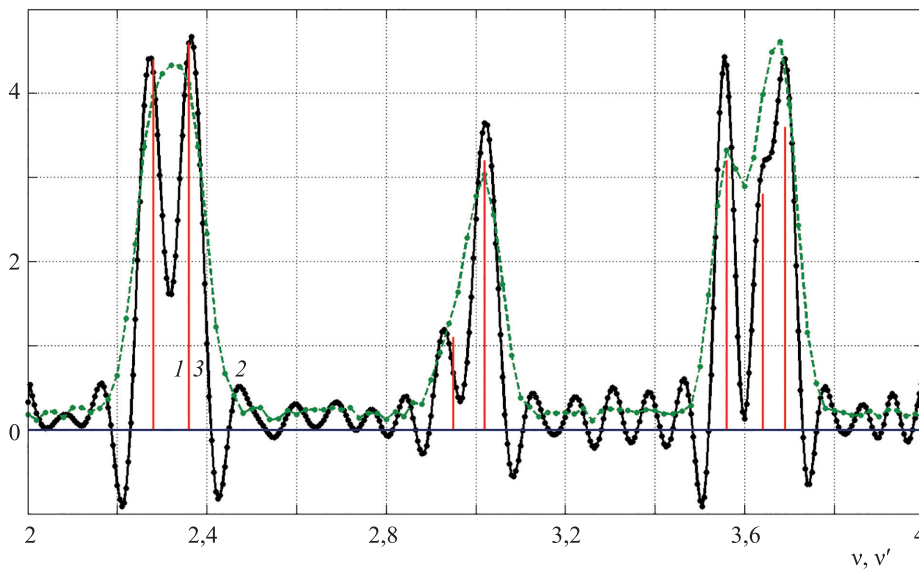


Рис. 4. Точный, измеренный и восстановленный спектры.

1 — точный спектр  $z(v')$ ; 2 — измеренный спектр  $\tilde{y}(v)$  длиной  $m = 101$ ; 3 — восстановленный спектр  $0,05z_\alpha(v)$  длиной  $N = 401$  при  $\alpha = 10^{-6}$

Берем в регуляризованном решении  $z_\alpha(v)$  на рис. 5 первые  $L = 12$  наибольших максимумов<sup>1</sup> и фиксируем их частоты  $\tilde{\nu}'_j, j = \overline{1, L}$ . Решаем уточняющую СЛАУ (16) относительно  $L + 1 = 13$  неизвестных: 12 амплитуд  $\tilde{z}_j$  и фона  $F$  с помощью МНК Гаусса (регуляризация не требуется, так как СЛАУ (16) является хорошо обусловленной).

На рис. 5 отмечены полученные значения  $z_j(\tilde{\nu}'_j)$  вертикальными пунктирными линиями. Видим, что все ложные максимумы получили отрицательные значения или значения, близкие к нулю. В качестве барьера для фильтрации ложных линий использовался

<sup>1</sup> Число  $L$  берем на основе практической обработки ряда реальных близких спектров.

порог  $Z$ , равный 20 % от полученного значения фона  $F$ , т. е.  $Z = 0,2F$ , хотя необходимости в использовании порога не было. При этом истинные максимумы получили значения  $\tilde{z}_j$ , близкие к точным значениям амплитуд  $z_j$ . Относительные погрешности, согласно (15), получились равными  $\varepsilon_{\text{rel}} = 0,0621$ ,  $\xi_{\text{rel}} = 0,0028$ ,  $\zeta_{\text{rel}} = 0,0622$ .

Можно констатировать, что в модельном примере все семь спектральных линий разрешились и с приемлемой точностью определились их частоты  $\tilde{\nu}'_j$  и интенсивности  $\tilde{z}_j$ , причем ни одна линия не потерялась и ни одна ложная линия не проявилась, хотя помехо-сигнальная ситуация была выбрана специально сложной, чтобы продемонстрировать возможности алгоритма интегральной аппроксимации.

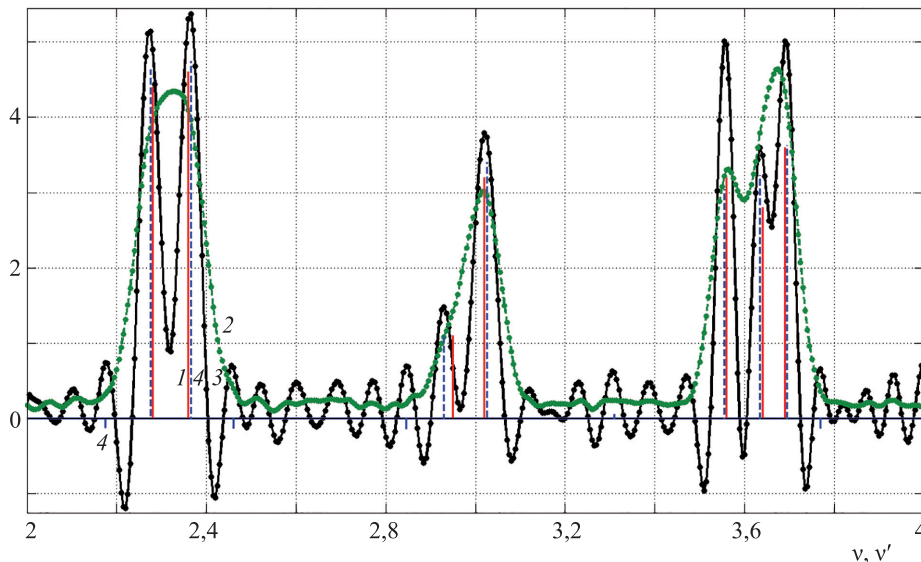


Рис. 5. Численный пример. Обратная задача при увеличенном  $m = 401$ .

1 — истинный спектр  $z(v')$  (вертикальные сплошные линии); 2 — аппроксимация измеренного спектра  $\hat{u}(v)$  сплайном  $u_s(v)$  длиной  $m = 401$ ; 3 — регуляризованное решение  $0,05z_\alpha(v')$  длиной  $N = 401$  (сплошная линия); 4 — восстановленный спектр  $z_f(v_j')$  (вертикальные пунктирные линии)

Для сравнения данный модельный пример был решен также методом переменных проекций Голуба–Муллен–Хегланда [17–19]. Была использована MATLAB-программа (m-функция) `varpro.m` [33], предназначенная для реализации метода переменных проекций. Авторы дополнительно разработали головную программу `varpro_ex1.m`, а также m-функцию `adaex1.m`.

При решении примера по данным программам полагалось: `Ind = dPhi = []`. Это означает, что не использовались производные (в виде матрицы Якоби) при решении как линейной, так и нелинейной задач. Это может понизить точность решения, но упрощает процедуру решения.

Задача решалась в трех вариантах.

В варианте 1 вводилась равномерная сетка узлов по  $v = 2:0,1:4$  с числом узлов  $m = 21$ . Начальное приближение  $v' = [2,26; 2,38; 2,93; 3,04; 3,54; 3,63; 3,71]$  (число линий  $n = 7$ ). Полученные решения для  $z$  и  $v'$  приведены в таблице.

Видим, что погрешность вычисления получилась большой, особенно у линейных параметров  $z$  (inten-

сивностей линий). Это связано, видимо с тем, что в программе `varpro.m` не предусмотрено задание начального приближения для  $z$ .

В варианте 2 вводилась неравномерная сетка узлов по  $v = [2,1; 2,2; 2,25; 2,3; 2,35; 2,4; 2,5; 2,6; 2,8; 2,9; 2,95; 3; 3,05; 3,1; 3,2; 3,3; 3,4; 3,5; 3,55; 3,6; 3,65; 3,7; 3,75; 3,8; 3,9]$  (число узлов  $m = 25$ ). Начальное приближение для  $v'$  такое же, как в варианте 1. Таблица показывает, что погрешности решений значительно понизились и сблизились с вышеприведенными погрешностями алгоритма интегральной аппроксимации:  $\epsilon_{rel} = 0,0621$ ,  $\xi_{rel} = 0,0028$ ,  $\zeta_{rel} = 0,0622$ .

Число спектральных линий обычно неизвестно точно, поэтому в варианте 3 положено (ошибочно), что число спектральных линий равно  $n = 9$ . Начальное приближение  $v' = [2,1; 2,26; 2,38; 2,93; 3,04; 3,1; 3,54; 3,63; 3,71]$  (введены дополнительно две линии). Сетка узлов по  $v$  положена как в варианте 2 (неравномерная). Чтобы вычислить погрешности  $\epsilon_{rel}$ ,  $\xi_{rel}$  и  $\zeta_{rel}$ , список точных амплитуд и частот дополнен двумя фиктивными линиями с нулевыми интенсивностями:

Таблица. Результаты решения примера методом переменных проекций

Вариант 1	Относительная погрешность
Решение $z$ : 6,413; 3,195; 1,155; 4,421; 1,467; 12,090; 0,682. Решение $v'$ : 2,279; 2,417; 2,863; 3,026; 3,465; 3,652; 3,847. Число итераций $N = 28$ . Время решения $T = 1,5$ с	$\epsilon_{rel} = 1,1272$ $\xi_{rel} = 0,0257$ $\zeta_{rel} = 1,1275$
Вариант 2	
Решение $z$ : 4,848; 4,783; 1,361; 3,546; 3,271; 3,607; 3,498. Решение $v'$ : 2,280; 2,363; 2,943; 3,020; 3,554; 3,638; 3,696. $N = 5$ , $T = 0,3$ с	$\epsilon_{rel} = 0,1146$ $\xi_{rel} = 0,0014$ $\zeta_{rel} = 0,1146$
Вариант 3	
Решение $z$ : 0,407; 4,859; 4,743; 1,302; 3,555; 0,767; 3,271; 3,607; 3,498. Решение $v'$ : 2,141; 2,280; 2,363; 2,941; 3,019; 3,145; 3,554; 3,638; 3,696. $N = 7$ , $T = 0,4$ с	$\epsilon_{rel} = 0,1481$ $\xi_{rel} = 0,0069$ $\zeta_{rel} = 0,1483$

$$z = [0; 4,4; 4,6; 1,1; 3,2; 0; 3,2; 2,8; 3,6];$$

$$v' = [2,1; 2,28; 2,36; 2,95; 3,02; 3,1; 3,56; 3,64; 3,69].$$

Таблица показывает, что интенсивности  $z$  фиктивных линий получили немалые значения 0,407 и 0,767 в результате решения, хотя следовало ожидать почти нулевых значений. Это говорит о том, что не срабатывает механизм подавления ложных линий.

На основе решения примера алгоритмом интегральной аппроксимации и методом переменных проекций можно сделать следующие (предварительные) выводы.

1. Метод переменных проекций требует хорошего начального приближения для  $v'$ , а также частой сетки по  $v$ . Заметим, что вводить частую сетку по  $v$  в случае реального эксперимента технически затруднительно. Далее, желательно использовать матрицу производных Якоби, однако это усложняет метод. Наконец, непросто решается вопрос о числе  $n$  спектральных линий, так как ложные линии подавляются слабо.
2. Алгоритм интегральной аппроксимации не использует начальное приближение для  $v'$ , но он также требует частой сетки узлов, однако не по  $v$ , а по  $v'$ , что сделать несложно, так как сетка по  $v'$  создается программным, а не техническим путем. Вопрос об истинном числе  $n$  спектральных линий в алгоритме интегральной аппроксимации решается надежно, так как ложные линии надежно фильтруются им (рис. 5).

В общем оба метода дополняют друг друга. Основное их отличие состоит в том, что метод переменных проекций — это линейно-нелинейный метод, а алгоритм интегральной аппроксимации — целиком линейный метод.

## Заключение

В данной работе получил дальнейшее развитие алгоритм интегральной аппроксимации обработки дискретных спектров. Решение модельных примеров продемонстрировало высокую эффективность предложенной методики — разрешение близких дискретных линий, выделение слабых линий из шума, восстановление тонкой структуры дискретного спектра. В результате имеет место *повышение разрешающей способности спектрометра*, а значит, и качества спектрального анализа путем математико-компьютерной обработки спектров.

Спектрометр может быть состыкован с компьютером с заложенным в него программным обеспечением или дополнен специализированным вычислительным устройством, реализующим рассмотренный алгоритм обработки спектров. При этом можно использовать несовершенный (и недорогой) спектрометр, но за счет математико-компьютерной обработки получить практически такие же качественные результаты, как с помощью более совершенного (но более дорогого) спектрометра. Под термином «более совершенный» подразумевается спектрометр с более узкой аппаратной функцией, что позволяет разрешать близкие и слабые линии в спектре без математической обработки.

Следует отметить, что предложенный алгоритм обработки дискретных спектров является *универсальным* в том смысле, что может быть использован для восстановления заглаженных и зашумленных спектров в различных областях спектроскопии: спектроскопия газов, жидкостей и плазмы, ядерно-магнитно-резонансная спектроскопия веществ, спектроскопический анализ расплавленных металлов в домнах и т. д.

## Литература

1. Раутиан С.Г. Реальные спектральные приборы // Успехи физических наук. 1958. Т. 66. № 3. С. 475–517.
2. Bousquet P. Spectroscopy and Its Instrumentation. London: Hilger, 1971. 239 p.
3. Handbook of Vibrational Spectroscopy / ed. by J.M. Chalmers, P.R. Griffiths. New York: Wiley, 2002. 4000 p. doi: 10.1002/0470027320
4. Fleckl T., Jäger H., Obernberger I. Experimental verification of gas spectra calculated for high temperatures using the HITRAN/HITEMP database // Journal of Physics D: Applied Physics. 2002. V. 35. N 23. P. 3138–3144. doi: 10.1088/0022-3727/35/23/315
5. Сизиков В.С. Прямые и обратные задачи восстановления изображений, спектроскопии и томографии с MatLab: учебное пособие. СПб.: Лань, 2017. 412 с.
6. Сизиков В. Интегральные уравнения и MatLab в задачах томографии, иконоки и спектроскопии. Saarbrücken: LAP LAMBERT Academic Publishing, 2011. 252 с.
7. Kauppinen J.K., Moffatt D.J., Mantsch H.H., Cameron D.G. Fourier self-deconvolution: a method for resolving intrinsically overlapped bands // Applied Spectroscopy. 1981. V. 35. N 3. P. 271–276. doi: 10.1366/0003702814732634
8. Stewart J.E. Resolution enhancement of X-ray fluorescence spectra with a computerized multichannel analyzer // Applied Spectroscopy. 1975. V. 29. N 2. P. 171–174. doi: 10.1366/000370275774455257
9. Сизиков В.С., Кривых А.В. Восстановление непрерывных спектров методом регуляризации с использованием модельных спектров // Оптика и спектроскопия. 2014. Т. 117. № 6. С. 1040–1048. doi: 10.7868/S0030403414110166

## References

1. Rautian S.G. Real spectral apparatus. *Soviet Physics Uspekhi*, 1958, vol. 66, no. 2, pp. 245–273. doi: 10.1070/PU1958v001n02ABEH003099
2. Bousquet P. *Spectroscopy and Its Instrumentation*. London, Hilger, 1971, 239 p.
3. *Handbook of Vibrational Spectroscopy*. Ed. by J.M. Chalmers, P.R. Griffiths. New York, Wiley, 2002, 4000 p. doi: 10.1002/0470027320
4. Fleckl T., Jäger H., Obernberger I. Experimental verification of gas spectra calculated for high temperatures using the HITRAN/HITEMP database. *Journal of Physics D: Applied Physics*, 2002, vol. 35, no. 23, pp. 3138–3144. doi: 10.1088/0022-3727/35/23/315
5. Sizikov V.S. *Direct and Inverse Problems of Image Restoration, Spectroscopy and Tomography with MatLab*. Tutorial. St. Petersburg, Lan' Publ., 2017, 412 p. (in Russian)
6. Sizikov V.S. *Integral Equations and MATLAB in Problems of Tomography, Iconics, and Spectroscopy*. Saarbrücken, LAP LAMBERT Academic Publishing, 2011, 252 p. (in Russian)
7. Kauppinen J.K., Moffatt D.J., Mantsch H.H., Cameron D.G. Fourier self-deconvolution: a method for resolving intrinsically overlapped bands. *Applied Spectroscopy*, 1981, vol. 35, no. 3, pp. 271–276. doi: 10.1366/0003702814732634
8. Stewart J.E. Resolution enhancement of X-ray fluorescence spectra with a computerized multichannel analyzer. *Applied Spectroscopy*, 1975, vol. 29, no. 2, pp. 171–174. doi: 10.1366/000370275774455257
9. Sizikov V.S., Krivykh A.V. Reconstruction of continuous spectra by the regularization method using model spectra. *Optics and Spectroscopy*, 2014, vol. 117, no. 6, pp. 1010–1017. doi: 10.1134/S0030400X14110162

10. Sizikov V.S. Generalized method for measurement data reduction. I. Processing of tonal (narrow-band) signals // *Electronic Modeling*, 1992. V. 9. N 4. P. 618–633.
11. Sizikov V. Use of an integral equation for solving special systems of linear-non-linear equations // *Proc. Conf. Integral Methods in Science and Engineering (IMSE96)*. V. 2. Approximation Methods, 1997. P. 200–205.
12. Химмельблау Д. Прикладное нелинейное программирование. М.: Мир, 1975. 536 с.
13. Rheinboldt W.C. *Methods for Solving Systems of Nonlinear Equations*. 2<sup>nd</sup> ed. Philadelphia: SIAM, 1998. 157 p.
14. Кей С.М., Марпл С.Л. Современные методы спектрального анализа (обзор) // Труды Института инженеров по электротехнике и радиоэлектронике. 1981. Т. 69. № 11. С. 5–51.
15. Пиблз П., Берковиц Р. Многоцелевой моноимпульсный радиолокатор // Зарубежная радиоэлектроника. 1969. № 10. С. 3–17.
16. Фалькович С.Е., Коновалов Л.Н. Разрешение неизвестного числа сигналов // Радиотехника и электроника. 1982. Т. 27. № 1. С. 92–97.
17. Golub G.H., Pereyra V. The differentiation of pseudo-inverses and nonlinear least squares problems whose variables separate // *SIAM Journal on Numerical Analysis*. 1973. V. 10. N 2. P. 413–432. doi: 10.1137/0710036
18. Mullen K.M., van Stokkum I.H.M. The variable projection algorithm in time-resolved spectroscopy, microscopy and mass spectrometry applications // *Numerical Algorithms*. 2009. V. 51. N 3. P. 319–340. doi: 10.1007/s11075-008-9235-2
19. Hegland M. Error bounds for spectral enhancement which are based on variable Hilbert scale inequalities // *Journal of Integral Equations and Applications*. 2010. V. 22. N 2. P. 285–312. doi: 10.1216/JIE-2010-22-2-285
20. Кривых А.В., Сизиков В.С. Обработка дискретных спектров с помощью алгоритма интегральной аппроксимации // Научно-технический вестник информационных технологий, механики и оптики. 2011. № 5(75). С. 14–18.
21. Sidorov D. *Integral Dynamical Models: Singularities, Signals and Control*. Singapore-London: World Scientific Publ., 2014. 243 p.
22. Тихонов А.Н., Арсенин В.Я. Методы решения некорректных задач. 3-е изд. М.: Наука, 1986. 288 с.
23. Engl H., Hanke M., Neubauer A. *Regularization of Inverse Problems*. Dordrecht: Kluwer, 1996. 328 p.
24. Петров Ю.П., Сизиков В.С. Корректные, некорректные и промежуточные задачи с приложениями. СПб.: Политехника, 2003. 261 с.
25. Воскобойников Ю.Е., Преображенский Н.Г., Седельников А.И. Математическая обработка эксперимента в молекулярной газодинамике. Новосибирск: Наука, 1984. 240 с.
26. Sizikov V.S., Sidorov D.N. Generalized quadrature for solving singular integral equations of Abel type in application to infrared tomography // *Applied Numerical Mathematics*. 2016. V. 106. P. 69–78. doi: 10.1016/j.apnum.2016.03.004
27. Тихонов А.Н., Гончарский А.В., Степанов В.В., Ягола А.Г. Численные методы решения некорректных задач. М.: Наука, 1990. 232 с.
28. Yan L., Liu H., Zhong S., Fang H. Semi-blind spectral deconvolution with adaptive Tikhonov regularization // *Applied Spectroscopy*. 2012. V. 66. N 11. P. 1334–1346. doi: 10.1366/11-06256
29. Морозов В.А. Регулярные методы решения некорректно поставленных задач. М.: Наука, 1987. 240 с.
30. Sizikov V.S., Evseev V., Fateev A., Clausen S. Direct and inverse problems of infrared tomography // *Applied Optics*. 2016. V. 55. N 1. P. 208–220. doi: 10.1364/AO.55.000208
31. Старков В.Н. Конструктивные методы вычислительной физики в задачах интерпретации. Киев: Наукова думка, 2002. 264 с.
32. Sizikov V., Sidorov D. Discrete spectrum reconstruction using integral approximation algorithm // *Applied Spectroscopy*. 2017. V. 71. N 7. P. 1640–1651. doi: 10.1177/0003702817694181
33. O’Leary D.P., Rust B.W. Variable projection for nonlinear least squares problems // *Computational Optimization and Applications*. 2013. V. 54. N 3. P. 579–593. doi: 10.1007/s10589-012-9492-9
10. Sizikov V.S. Generalized method for measurement data reduction. I. Processing of tonal (narrow-band) signals. *Electronic Modeling*, 1992, vol. 9, no. 4, pp. 618–633.
11. Sizikov V. Use of an integral equation for solving special systems of linear-non-linear equations. *Proc. Conf. Integral Methods in Science and Engineering (IMSE96)*. V. 2. Approximation Methods, 1997, pp. 200–205.
12. Himmelblau D.M. *Applied Nonlinear Programming*. New York, McGraw-Hill, 1972, 416 p.
13. Rheinboldt W.C. *Methods for Solving Systems of Nonlinear Equations*. 2<sup>nd</sup> ed. Philadelphia, SIAM, 1998, 157 p.
14. Kay S.M., Marple S.L., Jr. Spectrum analysis – a modern perspective. *Proceedings of the IEEE*, 1981, vol. 69, no. 11, pp. 1380–1419. doi: 10.1109/PROC.1981.12184
15. Peebles P.Z., Jr., Berkowitz R.S. Multiple-target monopulse radar processing techniques. *IEEE Transactions on Aerospace and Electronic Systems*, 1968, vol. AES-4, no. 6, pp. 845–854. doi: 10.1109/TAES.1968.5409051
16. Falkovich S.E., Kononov L.N. Estimation for unknown numbers of signals. *Soviet Journal of Communications Technology and Electronics*, 1982, vol. 27, no. 1, pp. 92–97.
17. Golub G.H., Pereyra V. The differentiation of pseudo-inverses and nonlinear least squares problems whose variables separate. *SIAM Journal on Numerical Analysis*, 1973, vol. 10, no. 2, pp. 413–432. doi: 10.1137/0710036
18. Mullen K.M., van Stokkum I.H.M. The variable projection algorithm in time-resolved spectroscopy, microscopy and mass spectrometry applications. *Numerical Algorithms*, 2009, vol. 51, no. 3, pp. 319–340. doi: 10.1007/s11075-008-9235-2
19. Hegland M. Error bounds for spectral enhancement which are based on variable Hilbert scale inequalities. *Journal of Integral Equations and Applications*. 2010, vol. 22, no. 2, pp. 285–312. doi: 10.1216/JIE-2010-22-2-285
20. Krivykh A.V., Sizikov V.S. Discrete spectra processing by an integral approximation algorithm. *Scientific and Technical Journal of Information Technologies, Mechanics and Optics*, 2011, no. 5(75), pp. 14–18. (in Russian)
21. Sidorov D. *Integral Dynamical Models: Singularities, Signals and Control*. Singapore-London, World Scientific Publ., 2014, 243 p.
22. Tikhonov A.N., Arsenin V.Ya. *Solutions of Ill-Posed Problems*. New York, Wiley, 1977, 258 p.
23. Engl H., Hanke M., Neubauer A. *Regularization of Inverse Problems*. Dordrecht, Kluwer, 1996, 328 p.
24. Petrov Yu.P., Sizikov V.S. *Well-Posed, Ill-Posed, and Intermediate Problems with Applications*. Leiden–Boston, VSP, 2005, 234 p.
25. Voskoboinikov Yu.E., Preobrazhensky N.G., Sedel’nikov A.I. *Mathematical Processing of Experiment in Molecular Gas Dynamics*. Novosibirsk, Nauka Publ., 1984, 240 p. (in Russian)
26. Sizikov V.S., Sidorov D.N. Generalized quadrature for solving singular integral equations of Abel type in application to infrared tomography. *Applied Numerical Mathematics*, 2016, vol. 106, pp. 69–78. doi: 10.1016/j.apnum.2016.03.004
27. Tikhonov A.N., Goncharsky A.N., Stepanov V.V., Yagola A.G. *Numerical Methods for the Solution of Ill-Posed Problems*. Dordrecht, Kluwer, 1995, 254 p. doi: 10.1007/978-94-015-8480-7
28. Yan L., Liu H., Zhong S., Fang H. Semi-blind spectral deconvolution with adaptive Tikhonov regularization. *Applied Spectroscopy*, 2012, vol. 66, no. 11, pp. 1334–1346. doi: 10.1366/11-06256
29. Morozov V.A. *Methods for Solving Incorrectly Posed Problems*. New York, Springer-Verlag, 1984, 257 p. doi: 10.1007/978-1-4612-5280-1
30. Sizikov V., Evseev V., Fateev A., Clausen S. Direct and inverse problems of infrared tomography. *Applied Optics*, 2016, vol. 55, no. 1, pp. 208–220. doi: 10.1364/AO.55.000208
31. Starkov V.N. *Constructive Methods of Computational Physics in Problems of Interpretation*. Kiev, Naukova Dumka Publ., 2002, 264 p. (in Russian)
32. Sizikov V., Sidorov D. Discrete spectrum reconstruction using integral approximation algorithm. *Applied Spectroscopy*, 2017, vol. 71, no. 7, pp. 1640–1651. doi: 10.1177/0003702817694181
33. O’Leary D.P., Rust B.W. Variable projection for nonlinear least squares problems. *Computational Optimization and Applications*, 2013, vol. 54, no. 3, pp. 579–593. doi: 10.1007/s10589-012-9492-9

**Авторы**

**Александрова Анастасия Андреевна** — студент, Университет ИТМО, Санкт-Петербург, 197101, Российская Федерация, ORCID ID: 0000-0002-3398-6166, [nastya.9797@yandex.ru](mailto:nastya.9797@yandex.ru)

**Сизиков Валерий Сергеевич** — доктор технических наук, профессор, профессор, Университет ИТМО, Санкт-Петербург, 197101, Российская Федерация, Scopus ID: 6603236516, ORCID ID: 0000-0002-4618-8753, [sizikov2000@mail.ru](mailto:sizikov2000@mail.ru)

**Authors**

**Anastasiya A. Aleksandrova** — Student, ITMO University, Saint Petersburg, 197101, Russian Federation, ORCID ID: 0000-0002-3398-6166, [nastya.9797@yandex.ru](mailto:nastya.9797@yandex.ru)

**Valery S. Sizikov** — D.Sc., Full Professor, ITMO University, Saint Petersburg, 197101, Russian Federation, Scopus ID: 6603236516, ORCID ID: 0000-0002-4618-8753, [sizikov2000@mail.ru](mailto:sizikov2000@mail.ru)